

## 報 文

화학공학 제 5 권 제 4 호  
J. KICHE, Vol. 5, No. 4  
Dec. 1967

# 바륨 휘라이트의 反應速度에 關하여

皇 甫 漢\*, 都 命 基\*\*

## On the Reaction Kinetics of Barium Ferrite

Whang-Bo, Han\* and Doh, Myung Ki\*\*

\*; \*\*Dept. of Chem. Eng., Dae Ku College

An analytical equation is derived for the kinetic reaction of Barium Ferrite, considering the particle size distributions of raw materials. The powder of Barium Carbonate have the logarithmic normal distributions. The total degrees of reaction are calculated for the reactions at the temperature  $T=960, 1,040, 1,120, 1,200$ , and  $1,260^{\circ}\text{C}$  with various time and compared with those values, determined by means of vibrating sample magnetometer.

Jander equation can be applied to the Barium Ferrite reaction, if the particle diameters of Barium Carbonate are equal. And the activation energy of the reaction ( $E_2=55.8$  Kcal per mole) is obtained according to Arrhenius equation.

### 1. 緒 言

粒子徑이 一定한 固體粒子의 固相速度에 對해서는 Jander [1], Ginstling-Brounshtein [2], Carter [3] 등이 여러가지 數式을 제안 하였으나 실제 反應物質의 粒子群은 粒徑이 다른 粒度分布를 가지므로 이들 數式을 直接 利用할 수 없다.

1951年에 Miyagi [4]가 처음으로 反應物質의 粒度分布를 고려하여 Jander의 式을 檢討하였고 最近에 Sasaki [5]는 反應粒子群을 篩分하여  $n$  個의 同一한 粒子群으로 分類하고 각粒子群에 對하여 Carter의 式을 적용하고 이들을 重疊하여 한 式으로 表示하였다. 그러나 이 式은 解析的으로 計算할 수 없어 圖表를 利用하여 복잡한 數值計算을 하였다. Sasaki의 方法은 粒度가  $20\mu$  미만인 粒子群에 對해서는 篩分하여 同一粒徑으로 等級할 수 있으므로 이용할 수 없다.

本文에서는 粒徑이  $20\mu$  미만이고 粒度分布가 對數正規分布를 따르는 碳酸바륨과 酸化第二鐵을 混合하고 一定한 壓力下에서 ( $2t/\text{cm}^2$ ) 成形하여 高溫에서 反應시켜 바륨 휘라이트(Barium Ferrite)를 만들 때 적합한 反應速度式을 提案하였다. 各種 試料의 反應率(degree of

reaction)을 정확히 測定하기 위하여 振動試料의 magnetometer (Fig. 1)를 利用하였다. 이 magnetometer는 各 反應조건에서 생긴 바륨 휘라이트의 磁氣能率과 이에 反應이 完結된 標準試料의 磁氣能率을 比較할 수 있도록 設計되어 있어 簡便히 反應率을 決定할 수 있다.



Fig. 1. Vibrating sample magnetometer

### 2. 理 論

지금  $n$  個의  $A$  粒子群을 多量의  $B$  粒子群에 混合하여 一定한 溫度에서 一定時間( $t$ )동안 反應시킨다.  $A$

\*; \*\*大邱大學 化工科

粒子는  $B$ 에 둘러 쌓여 있고  $B$ 成分이  $A$ 粒子中으로 확산하여 反應하고 生成物  $AB$ 를 만든다고 하자. 그렇다면 全粒子의 反應率( $\bar{\alpha}$ )은 개개의  $A$ 粒子의 反應率의 和와 같고 만일  $A$ 粒子群의 粒徑에 對한 重量分率( $y_j$ ) 分布를 안다면 다음 式으로 表示할 수 있다.

$$\bar{\alpha} = \sum_{j=1}^{i-1} y_j + \sum_i^n y_j \alpha_j \quad (1)$$

왜냐하면 이미 反應이  $t$  시간 진행하였으므로 粒徑이  $D_{i-1}$  보다 작은  $A$ 粒子는 反應이 완결되어

$$\alpha_1 = \alpha_2 = \dots = \alpha_{i-1} = 1$$
 이 되기 때문이다.

여기서  $\alpha_i$ 는任意의 粒子의 反應率로서 만일  $A$ 粒子를 球形으로 가정하면 다음 式으로 表示할 수 있다.

$$\alpha = \frac{\frac{\pi}{6} D^3 - \frac{\pi}{6} (D-2x)^3}{\frac{\pi}{6} D^3} = 1 - \left(1 - \frac{2x}{D}\right)^3 \quad (2)$$

여기서  $x$ 는 생성되는  $AB$ 層의 두께이다. 이  $AB$ 層의 두께가 커지는 速度는 Jander에 의하면 생성된  $AB$ 層의 두께에 反比例한다.

$$\text{근 } \frac{dx}{dt} = \frac{k'}{x} \quad (3)$$

(3)式을 積分하고 整理하면 다음 式을 얻는다.

$$x = \sqrt{kt} \quad (4)$$

(4)式을 (2)式에 代入하고  $D=2R$  이라 두면 Jander 式

$$(1 - \sqrt{1-\alpha})^2 = \frac{k}{R^2} \cdot t = k_{jt} \text{ 를 얻고}$$

$$\text{또 } \alpha = \frac{6\sqrt{kt}}{D} - \frac{12kt}{D^2} + \frac{8(kt)^{3/2}}{D^3} \quad (5)$$

본 실험에 사용한  $A$ 粒子는 탄산바륨粒子로서 積算通過重量分布는 Fig. 2 와 같고 이 값을 對數確率分布線圖에 그리면 Fig. 2-b에 그린 直線이 되므로 다음 式으로 表示할 수 있다.

$$y = \frac{\sum y_j}{\log \sigma_g \cdot \sqrt{2\pi}} \cdot \exp \left\{ -\frac{(\log D - \log \bar{D}_g)^2}{2\log^2 \sigma_g} \right\} \quad (6)$$

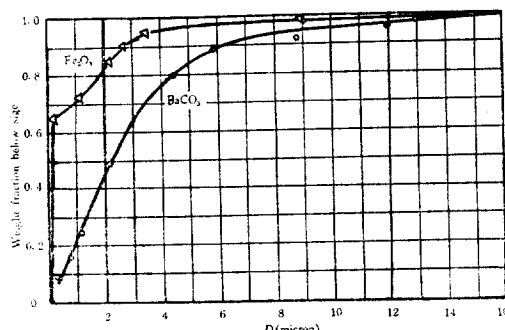


Fig. 2. Particle size distribution of iron oxide and barium carbonate

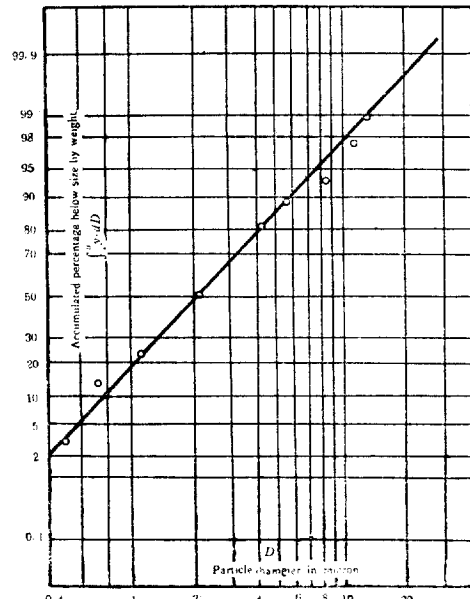


Fig. 2-b. Logarithmic probability distribution of barium carbonate powder

(5)과 (6)式을 (1)式에 代入하고 積分式으로 바꾸면

$$\begin{aligned} \bar{\alpha} &= \frac{1}{\log \sigma_g \cdot \sqrt{2\pi}} \int_{-\infty}^{\log D_{i-1}} \exp \left\{ -\frac{(\log D - \log \bar{D}_g)^2}{2\log^2 \sigma_g} \right\} \\ &\quad d(\log D) + \frac{1}{\log \sigma_g \cdot \sqrt{2\pi}} \int_{\log D_i}^{\log D_n} \left[ \frac{6\sqrt{kt}}{D} - \frac{12kt}{D^2} + \right. \\ &\quad \left. \frac{8(kt)^{3/2}}{D^3} \right] \cdot \exp \left\{ -\frac{(\log D - \log \bar{D}_g)^2}{2\log^2 \sigma_g} \right\} d(\log D) \end{aligned} \quad (7)$$

여기서

$\sigma_g$ =幾何標準偏差

$\bar{D}_g$ =幾何平均徑

$$\log \sigma_g = \sqrt{\frac{\sum (y(\log D - \log \bar{D}_g))^2}{\sum y}} \quad (8)$$

(7)式의 積分限界粒徑  $D_i$ 는 時間  $t$ 의 函數이나 一定한 反應條件( $k=\text{const}$ )에서 反應時間  $t$ 가 주어지면 그 때 막 반응이 완결되는 粒徑이고 Jander의 式에서  $\alpha=1$  라 두면 때 결정된다.

(7)式 右邊의 第 2 項을 計算하기 위하여

$$\frac{\log D - \log \bar{D}_g}{\sqrt{2} \log \sigma_g} = z \quad (9)$$

라 두면

$$D = e^{z \log \sigma_g + \log \bar{D}_g} \quad (10)$$

$$\text{또 } d(\log D) = \sqrt{2} \log \sigma_g \cdot dz \quad (11)$$

(9), (10) 및 (11)式을 (7)에 代入하여 정돈하면 다음 과 같은 確率積分式이 된다.

$$\bar{\alpha} = \frac{1}{\log \sigma_g \sqrt{2\pi}} \int_{-\infty}^{\log D_{i-1}} \exp \left\{ -\frac{(\log D - \log \bar{D}_g)^2}{2\log^2 \sigma_g} \right\}$$

$$d(\log D) + \frac{6\sqrt{k}}{\sqrt{\pi}} \exp\left[\frac{1}{2} \log^2 \sigma_g - \log \bar{D}_g\right] \int_{z_1}^{z^2} \exp\left\{-\frac{(z + \frac{1}{\sqrt{2}} \log \sigma)^2}{2}\right\} dz + \frac{12kt}{\sqrt{\pi}} \cdot \exp[2 \log^2 \sigma_g - 2 \log \bar{D}_g] \\ \int_{z_1}^{z^2} \exp\left\{(z + \sqrt{2} \log \sigma)^2\right\} dz + \frac{8(kt)^{3/2}}{\sqrt{\pi}} \exp\left\{\frac{9}{2} \log^2 \sigma_g - 3 \log \bar{D}_g\right\} \int_{z_1}^{z^2} \exp\left\{-(z + \frac{3}{\sqrt{2}} \log \sigma)^2\right\} dz \quad (12)$$

다시  $X = z + \frac{1}{\sqrt{2}} \log \sigma$  (13)

$Y = z + \sqrt{2} \log \sigma_g \quad (14)$

$W = z + \frac{3}{\sqrt{2}} \log \sigma_g \quad (15)$

라 두면 (12)式은

$$\bar{\alpha} = \frac{1}{\log \sigma_g \sqrt{2\pi}} \int_{-\infty}^{\log D_{50}-1} \exp\left\{-\frac{(\log D - \log \bar{D}_g)^2}{2 \log^2 \sigma}\right\} \\ d(\log D) + \frac{6\sqrt{k}}{\sqrt{\pi}} \cdot \exp\left[\frac{1}{2} \log^2 \sigma - \log \bar{D}_g\right] \int_{X_1}^{X^2} e^{-X^2} \cdot dX \\ + \frac{12kt}{\sqrt{\pi}} \exp[2 \log^2 \sigma - 2 \log \bar{D}_g] \int_{Y_1}^{Y^2} e^{-Y^2} \cdot dY \\ + \frac{8(kt)^{3/2}}{\sqrt{\pi}} \exp\left\{\frac{9}{2} \log^2 \sigma - 3 \log \bar{D}_g\right\} \int_{W_1}^{W^2} e^{-W^2} \cdot dW \quad (16)$$

對數正規分布線의 分布特性值인 幾何標準偏差  $\sigma_g$  와 幾何平均徑  $\bar{D}_g$  는 對數確率分布曲線圖를 利用하여 간단히 계산할 수 있다[6]. (9)式에서  $z=0$  일 때  $D=\bar{D}_g$  가 되므로 끝 50% 粒子徑에서  $D_g$  가 求해진다.

또  $z=\frac{1}{\sqrt{2}}$  일 때 (9)式은

$\log \sigma_g = \log D - \log \bar{D}_g = \log\left(\frac{D}{\bar{D}_g}\right) \quad (17)$

가 되고 (6)式은 다음과 같은 표준정규 분포가 된다.

$\phi = \int_{-\infty}^{\log D} y d(\log D) = \frac{1}{\sqrt{\pi}} \int_{-\infty}^{z_x} \exp(-z^2) dz \quad (18)$

正規確率積分表에서  $z_x = \frac{1}{\sqrt{2}}$  때  $\phi = 0.8413$  이 되므로  $\sigma_g$  는 次式에서 求해진다.

$\sigma_g = \left(\frac{D}{\bar{D}_g}\right) = \frac{84.13\% \text{ 粒子徑}}{50\% \text{ 粒子徑}}$

### 三. 實驗

#### 3-1. 原料의 製造와 粒度의 測定

본 실험에 사용한 탄산 바륨은 Hanawa 製化學純度品으로 그 粒度測定은 Andreesen Pipette 法에 의한沈降分析을 하였다. 이 탄산 바륨의 懸濁液에 0.1% Sodium pyrophosphate의 해교계를 넣어 5時間 교반시킨 후沈降分析을 한結果는 그림 2와 같다. 또 酸

化鐵의 製造는 落鐵을 黃酸에 용해시켜 黃酸鐵을 만든 다음 알콜로 再結晶시켜 순수한 黃酸鐵을 얻고 이를 660~680°C에서 6時間 烧成시킨 것이다.

이 酸化鐵의 粒度測定結果는 그림 2와 같다. 이와 같은 方法으로 제조된 酸化鐵의 形狀은 거의 球形이고 粒度도 10μ 미만이라고 報告하였다[7].

#### 3-2. 試料의 製造

酸化鐵과 炭酸バ륨을 3:1의 몰比率로 懸濁液中에서 서 12간 교반混合하고 다시 건조하였다. 이混合粉을  $2t/cm^2$ 의 壓力下에서 直徑 2mm의 圓筒形으로 成形한다. 이 試料를 일단 700°C까지 加熱하여 건조시켜둔다.

이 試料를 白金 涵시에 넣어 미리 960°C, 1,040°C, 1,120°C, 1,200°C 및 1,260°C의 恒溫으로 調節된 Siliconit 電氣爐에서 一定時間(1분, 2분, 4분, 8분, 15분, 30분, 60분) 동안 恒溫反應시킨다.

이렇게 만든 試料를 磁束밀도가 10,000 Gauss 程度의 電磁石內에서 圓筒의 軸方向으로 着磁시킨다.

#### 3-3. 反應率의 測定

試料의 反應率를 決定하기 위하여 Fig. 1과 같은 Vibrating-Specimen Magnetometer를 사용하여 燒結된 試料의 饋和磁氣能을 (Saturation Magnetization)을 測定한다. 이 장치는 Foner[8]가 제작한 장치와 비슷하다. Fig. 3에서 설명한 것처럼 반응이 완결된 標準磁石과 試料가 스피커(Speaker)에 의하여 일정한 振動數(90cps)로 同一한 軸내에서 上下로 振動할 때 인피坦스가 같은 두 코일에 誘起되는 起電力を 比較할 수 있도록 A.C. Spiral potentiometer를 장치하였다. 두 磁石의 方向이 反對이므로 두 코일에서 발생되는 電流의 位相은 180°이므로 兩起電力은 potentiometer로 조절하면 상쇄되는데 이 값을 읽는다.

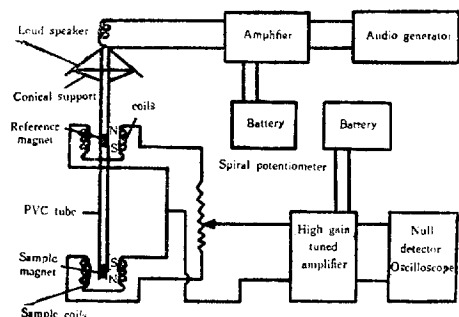


Fig. 3. Block diagram of electronic system for vibrating sample magnetometer

表 1

T. °C,	% Ferrite formed after firing for						
	t=1min	2min	4min	8min	15min	30min	60min
960	—	—	52.2	71.0	77.8	83.1	89.9
1,040	—	55.6	70.4	81.3	87.0	91.9	94.0
1,120	57.7	71.2	82.0	90.8	94.0	96.8	97.7
1,200	71.0	82.9	88.8	93.0	94.9	98.1	100
1,260	74.6	87.0	92.8	95.8	97.0	99.3	—

크기가 다른試料의磁氣能( $M_S$ )은 다음식으로計算한다.

$$M_S = M_S(\text{standard}) \frac{L}{L(\text{standard})} \left( \frac{d(\text{standard})}{d} \right)^3$$

여기서  $L$ 은 Oscilloscope에서零이포착될때Potentiometer의値이고  $d$ 는試料의粒徑이다.

實驗途中振動Magnetometer는標準바륨-轉ライ트磁石으로檢定하여恒時測定值를再生될수있다.

#### 4. 測定值와理論計算值

前述한 §3-2의方法으로준비한試料를振動試料

Magnetometer에서測定한資料를表-1에주었다. Fig. 4는各溫度에서反應率을反應시킨時間에따라플롯트한것이다.

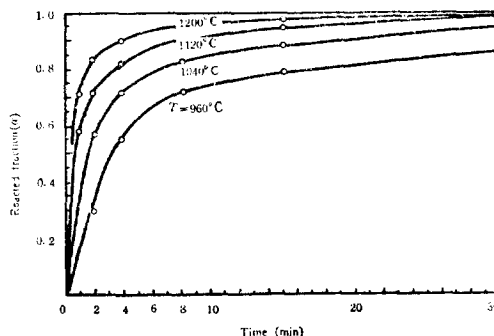


Fig. 4. Reacted fractions( $\bar{\alpha}$ ) as a function of reaction time at various temperatures

$$k = 0.0364 \left( \frac{\mu^2}{\text{min}} \right)$$

t(min)	D <sub>1</sub> (μ)	D <sub>2</sub> (μ)	X <sub>1</sub>	X <sub>2</sub>	erf X <sub>2</sub> - erf X <sub>1</sub>	Y <sub>1</sub>	Y <sub>2</sub>	erf Y <sub>2</sub> - erf Y <sub>1</sub>	W <sub>1</sub>	W <sub>2</sub>	erf W <sub>2</sub> - erf W <sub>1</sub>
4	0.764	20	-0.475	2.627	1.4980	0.051	3.153	0.9424	0.577	3.679	0.4144
8	1.080	20	-0.153	2.627	1.1711	0.373	3.153	0.5978	0.899	3.679	0.2035
15	1.478	20	0.148	2.627	0.8341	0.674	3.153	0.3494	1.200	3.679	0.0896
30	2.082	20	0.473	2.627	0.5034	0.999	3.153	0.1576	1.525	3.679	0.0313
60	2.950	20	0.805	2.627	0.2548	1.331	3.153	0.0597	1.857	3.679	0.0086
4	0.764	10	-0.475	1.966	1.4927	0.051	2.492	0.9420	0.577	3.018	0.4143
8	1.080	10	-0.153	1.966	1.1658	0.373	2.492	0.5974	0.899	3.018	0.2034
15	1.478	10	0.148	1.966	0.8288	0.674	2.492	0.3490	1.200	3.018	0.0895
30	2.082	10	0.473	1.966	0.4981	0.999	2.492	0.1572	1.525	3.018	0.0312
60	2.950	10	0.805	1.966	0.2495	1.331	2.492	0.0593	1.857	3.018	0.0085
4	0.764	6	-0.475	1.480	1.4614	0.051	2.006	0.9379	0.577	2.532	0.4141
8	1.080	6	-0.153	1.480	1.1345	0.373	2.006	0.5933	0.899	2.532	0.2032
15	1.478	6	0.148	1.480	0.7975	0.674	2.006	0.3359	1.200	2.532	0.0893
30	2.082	6	0.473	1.480	0.4668	0.999	2.006	0.1531	1.525	2.532	0.0310
60	2.950	6	0.805	1.480	0.2182	1.331	2.006	0.0532	1.857	2.532	0.0083
4	0.764	4	-0.475	1.095	1.3767	0.051	1.621	0.9236	0.577	2.147	0.4120
8	1.080	4	-0.153	1.095	1.0498	0.373	1.621	0.5763	0.899	2.147	0.2011
15	1.478	4	0.143	1.095	0.7128	0.674	1.621	0.3186	1.200	2.147	0.0870
30	2.082	4	0.473	1.095	0.3821	0.999	1.621	0.1358	1.525	2.147	0.0289
60	2.950	4	0.805	1.095	0.1335	1.331	1.621	0.0379	1.857	2.147	0.0062

表 2-2 T=960°C

$$k = 0.0135 \left( \frac{\mu^2}{\text{min}} \right)$$

t(min)	D <sub>1</sub> (μ)	D <sub>2</sub> (μ)	X <sub>1</sub>	X <sub>2</sub>	erf X <sub>2</sub> - erf X <sub>1</sub>	Y <sub>1</sub>	Y <sub>2</sub>	erf Y <sub>2</sub> - erf Y <sub>1</sub>	W <sub>1</sub>	W <sub>2</sub>	erf W <sub>2</sub> - erf W <sub>1</sub>
4	0.464	20	-0.954	2.627	1.8225	-0.428	3.153	1.4549	0.098	3.679	0.8897
8	0.658	20	-0.619	2.627	1.6184	0.093	3.153	0.8953	0.433	3.679	0.5402

15	0.900	20	-0.340	2.627	1.3691	0.202	3.153	0.7751	0.728	3.679	0.3032
30	1.270	20	-0.004	2.627	0.9953	0.530	3.153	0.4535	1.056	3.679	0.1353
60	1.800	20	0.336	2.627	0.6344	0.862	3.153	0.2228	1.388	3.679	0.0496
4	0.464	10	-0.954	1.966	1.8172	-0.428	2.492	1.4545	0.098	3.018	0.8896
8	0.658	10	-0.619	1.966	1.6131	0.093	2.492	0.8949	0.433	3.018	0.5401
15	0.900	10	-0.340	1.966	1.3638	0.202	2.492	0.7747	0.728	3.018	0.3031
30	1.270	10	-0.004	1.966	0.9900	0.530	2.492	0.4531	1.056	3.018	0.1352
60	1.800	10	0.336	1.966	0.6291	0.862	2.492	0.2224	1.388	3.018	0.0495
4	0.464	6	-0.954	1.480	1.7859	-0.428	2.006	1.4504	0.098	2.532	0.8894
8	0.658	6	-0.619	1.480	1.5818	0.093	2.006	0.8908	0.433	2.532	0.5399
15	0.900	6	-0.340	1.480	1.3325	0.202	2.006	0.7706	0.728	2.532	0.3029
30	1.270	6	-0.004	1.480	0.9587	0.530	2.006	0.4490	1.056	2.532	0.1350
60	1.800	6	0.336	1.480	0.5978	0.862	2.006	0.2183	1.388	2.532	0.0493
4	0.464	4	-0.954	1.095	1.7012	-0.428	1.621	1.4331	0.098	2.147	0.8873
8	0.658	4	-0.619	1.095	1.4971	0.093	1.621	0.8735	0.433	2.147	0.5378
15	0.900	4	-0.340	1.095	1.2478	0.202	1.621	0.7533	0.728	2.147	0.3008
30	1.270	4	-0.004	1.095	0.8740	0.530	1.621	0.4317	1.056	2.147	0.1329
60	1.800	4	0.336	1.095	0.5131	0.862	1.621	0.2010	1.388	2.147	0.0472

表 2-3  $T=1, 120^{\circ}\text{C}$   $k=0.0796 \left( \frac{\mu^2}{\text{min}} \right)$

$t(\text{min})$	$D_1(\mu)$	$D_2(\mu)$	$X_1$	$X_2$	$\frac{\text{erf}X_2 - \text{erf}X_1}{\text{erf}X_1}$	$Y_1$	$Y_2$	$\frac{\text{erf}Y_2 - \text{erf}Y_1}{\text{erf}Y_1}$	$W_1$	$W_2$	$\frac{\text{erf}W_2 - \text{erf}W_1}{\text{erf}W_1}$
2	0.796	20	-0.439	2.627	1.4650	0.089	3.153	0.8998	0.613	3.679	0.3859
4	1.124	20	-0.114	2.627	1.1278	0.412	3.153	0.5601	0.938	3.679	0.1846
8	1.592	20	0.219	2.627	0.7566	0.745	3.153	0.2920	1.271	3.679	0.0722
15	2.180	20	0.517	2.627	0.4645	1.043	3.153	0.1402	1.569	3.679	0.0264
30	3.080	20	0.846	2.627	0.2314	1.372	3.153	0.0523	1.898	3.679	0.0072
2	0.796	10	-0.439	1.966	1.4593	0.089	2.492	0.8994	0.613	3.018	0.3858
4	1.124	10	-0.114	1.966	1.1225	0.412	2.492	0.5587	0.938	3.018	0.1845
8	1.592	10	0.219	1.966	0.7513	0.745	2.492	0.2916	1.271	3.018	0.0721
15	2.180	10	0.517	1.966	0.4592	1.043	2.492	0.1398	1.569	3.018	0.0263
30	3.080	10	0.846	1.966	0.2261	1.372	2.492	0.0519	1.898	3.018	0.0071
2	0.796	6	-0.439	1.480	1.4284	0.089	2.006	0.8953	0.613	2.532	0.3856
4	1.124	6	-0.114	1.480	1.0912	0.412	2.006	0.5556	0.938	2.532	0.1833
8	1.592	6	0.219	1.480	0.7200	0.745	2.006	0.2875	1.271	2.532	0.0717
15	2.180	6	0.517	1.480	0.4279	1.043	2.006	0.1357	1.569	2.532	0.0261
30	3.080	6	0.846	1.480	0.1948	1.372	2.006	0.0478	1.898	2.532	0.0069
2	0.796	4	-0.439	1.095	1.3437	0.089	1.621	0.8780	0.613	2.147	0.3835
4	1.124	4	-0.114	1.095	1.0065	0.412	1.621	0.5382	0.938	2.147	0.1822
8	1.592	4	0.219	1.095	0.6353	0.745	1.621	0.2702	1.271	2.147	0.0698
15	2.180	4	0.517	1.095	0.3432	1.043	1.621	0.1184	1.569	2.147	0.0240
30	3.080	4	0.846	1.095	0.1101	1.372	1.621	0.0305	1.898	2.147	0.0048

表 2-4  $T=1, 200^{\circ}\text{C}$   $k=0.1571 \left( \frac{\mu^2}{\text{min}} \right)$

$t(\text{min})$	$D_1(\mu)$	$D_2(\mu)$	$X_1$	$X_2$	$\frac{\text{erf}X_2 - \text{erf}X_1}{\text{erf}X_1}$	$Y_1$	$Y_2$	$\frac{\text{erf}Y_2 - \text{erf}Y_1}{\text{erf}Y_1}$	$W_1$	$W_2$	$\frac{\text{erf}W_2 - \text{erf}W_1}{\text{erf}W_1}$
1	0.790	20	-0.452	2.627	1.4771	0.074	3.153	0.9166	0.600	3.679	0.3961
2	1.12	20	-0.116	2.627	1.1301	0.410	3.153	0.5620	0.936	3.679	0.1855
4	1.58	20	0.210	2.627	0.7663	0.736	3.153	0.2979	1.262	3.679	0.0880
8	2.24	20	0.541	2.627	0.4441	1.067	3.153	0.1313	1.593	3.679	0.0242
15	3.07	20	0.842	2.627	0.2336	1.368	3.153	0.0530	1.994	3.679	0.0047
30	4.34	20	1.164	2.627	0.0996	1.690	3.513	0.0168	2.216	3.679	0.0017

1	0.790	6	-0.452	1.480	1.4305	0.074	2.006	0.9121	0.600	3.018	0.3958
2	1.12	6	-0.116	1.480	1.0935	0.410	2.006	0.5575	0.936	3.018	0.1852
4	1.58	6	0.210	1.480	0.7297	0.736	2.006	0.2934	1.262	3.018	0.0877
8	2.24	6	0.541	1.480	0.4075	1.067	2.006	0.1268	1.593	3.018	0.0239
15	3.07	6	0.842	1.480	0.1970	1.368	2.006	0.0485	1.994	3.018	0.0044
30	4.34	6	1.164	1.480	0.0630	1.690	2.006	0.0123	2.216	3.018	0.0014
1	0.790	4	-0.452	1.095	1.3558	0.074	1.621	0.8948	0.600	2.147	0.3937
2	1.12	4	-0.116	1.095	1.0088	0.410	1.621	0.5402	0.936	2.147	0.1831
4	1.58	4	0.210	1.095	0.6450	0.736	1.621	0.2761	1.262	2.147	0.0856
8	2.24	4	0.541	1.095	0.3228	1.067	1.621	0.1095	1.593	2.147	0.0218
15	3.07	4	0.842	1.095	0.1123	1.368	1.621	0.0312	1.994	2.147	0.0023
1	0.790	2	-0.452	0.436	0.9398	0.074	0.962	0.7430	0.600	1.448	0.3608
2	1.12	2	-0.116	0.436	0.5928	0.410	0.962	0.3884	0.936	1.488	0.1502
4	1.58	2	0.210	0.436	0.2290	0.736	0.962	0.1243	1.262	1.488	0.0537

別途로 炭酸バ륨을 粒徑 3.6 $\mu$ 에서 4.4 $\mu$  까지만 切取하여 酸化鐵과 混合하고 同一한 方法으로 試料를 製造하여 各溫度에서 反應率을 測定하였다. 이 結果를 粒徑을 4 $\mu$  으로 計算하고 Jander의 式[1]에 適用, 時間에 따라 나타내었다. Fig.9는 Jander의 反應常數  $K_J$  와 反應時間의 積( $K_{Jt}$ )을 時間  $t$ 에 對해서 플롯트하여 直線 관계가 성립됨을 보여준다. 이와같이 粒徑이 一定한 試料에 對해서는 Jander의 式이 잘 맞으므로 反應溫度가 反應常數에 미치는 影响을 조사하였다. Fig.10에서 Arrhenius의 式에 따라 活性化 에너지를 求하니  $E_a=55.8\text{kcal/mole}$  이다.

Fig.2와 같은 粒度分布를 가진 原料에 대해서는 (16)式에 따라 全反應率을 계산하고 (표-2), 그 結果를 Fig. 5, 6, 7, 8에 그려 놓았다.

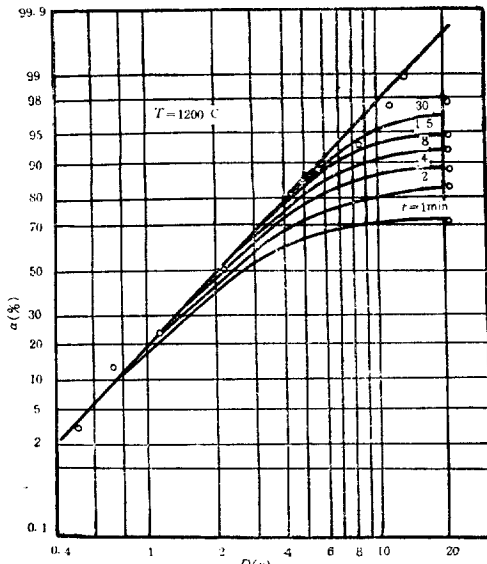


Fig.5. Overall reacted percentage ( $\alpha$ ) of the particles, the diameters of which are smaller than  $D$ , at time  $t$

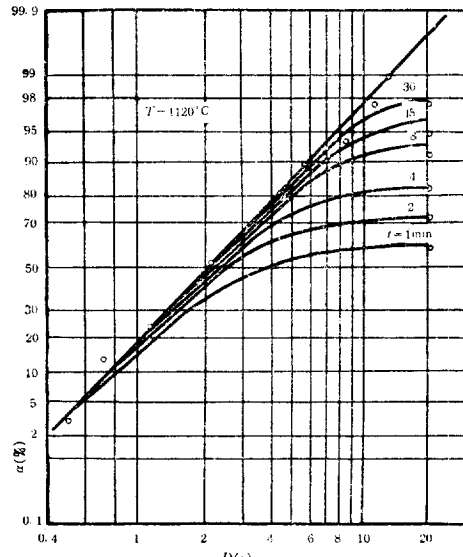


Fig.6. Overall reacted percentage ( $\alpha$ ) of the particles, the diameters of which are smaller than  $D$ , at time  $t$

## 5. 結論

粒徑이 一定한 炭酸バ륨으로 만든 바륨 헤라이트는 Jander의 式에 따르며 그 活性化 에너지

$$E_a=55.8\text{kcal/mole}$$

粒度分布가 그림 2에 表示한 것과 같은 原料로 만든 바륨 헤라이트의 反應率은 (16)式으로 계산하면 實測值와  $\pm 6\%$  以內로 잘 맞는다. 酸化鐵과 炭酸バrium의 混合물比를 3:1로 하였으므로 生成된 바륨 헤라이트는 Yasumasa Goto[9]가 만든  $\text{BaO}-\text{Fe}_2\text{O}_3$  系의 Rhase diagram에 依해  $\text{BaOFe}_2\text{O}_3$ (25%)와  $\text{BaO}\cdot 6\text{Fe}_2\text{O}_3$ (75%)로 생 각된다. 그 확인을 위하여 X-線 회절법을 利用해야 될 것으로 믿는다.

粒徑이 離分할 수 없을 만큼 작은 粒子들의 固相反應

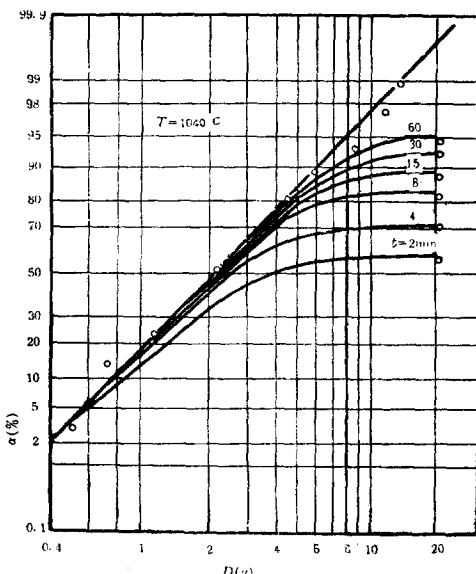


Fig. 7. Overall reacted percentage ( $\alpha$ ) of the particles, the diameters of which are smaller than  $D$ , at time  $t$

은原料粒子의 통계분포를求하여 적합한反應速度를  
얻어야 하며一定한粒子에對하여 계출된各種反應速  
度式은直接利用할 수 없다. 따라서個個粒子의反應率  
을計算하여全粒徑 범위를積分함으로서만 가능하다,

### Literature

1. Wilhelm Jander, "Reaktion im festen Zustand bei höheren Temperaturen" Z. Anorg. u. Allgem. Chem. 163

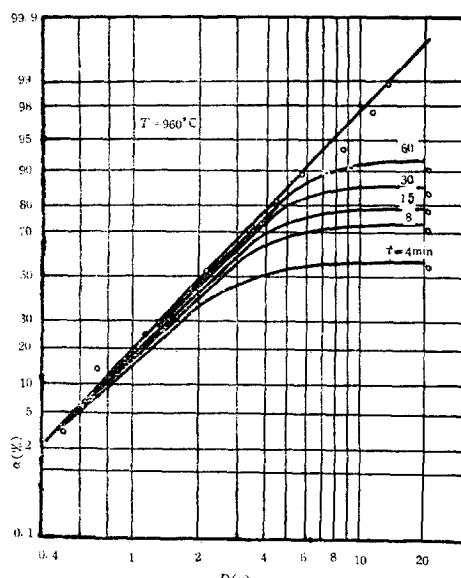


Fig. 8. Overall reacted percentage ( $\alpha$ ) of the particles, the diameters of which are smaller than  $D$ , at time  $t$

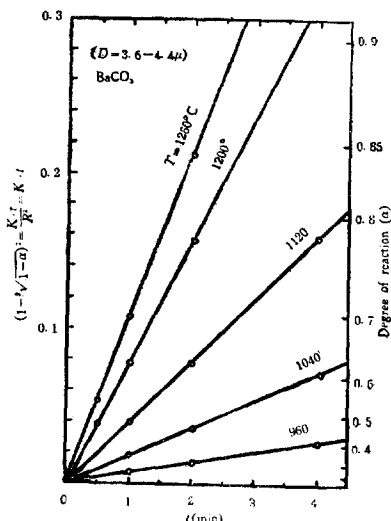


Fig. 9. Application of Jander application to Barium ferrite reactions

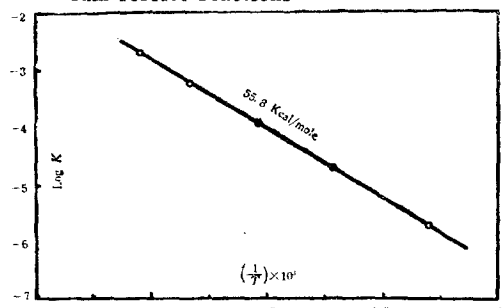


Fig. 10. Temperature dependence of reaction rate constant

(1-2) 1927

2. A. N. Ginstling and B. I. Brounshtein "Concerning the Diffusion Kinetics of Reactions in Spherical Particles" J. Appl. Chem. USSR, 23, 1327-38, 1950 (English transl.)
3. R. E. Carter "Kinetic Model for Solid State Reactions" J. Chem. Phys. vol. 34 No. 6, 1961
4. Seikichi Miyagi, "Criticism on Jander's Equation of Reaction-Rate, Considering Statistical Distribution of Particle Size of Reacting Substance" J. Ceram. Assoc. Japan 59 (658) 1951
5. Hiromu Sasaki, "Introduction to Particle Size Distribution into Kinetics of Solid-State Reaction" J. A. Ceram. S. Oct, 1964
6. 井伊谷鋼一: 粉體工學ハンドブック 1965. p. 44
7. R. A. Stephens, "Iron Oxide as Raw Materials for the Manufacture of Magnetic Ferrites." Am. Ceram. Bull. Mar. 1959 p. 106
8. Simon Foner, (a) "Versatile and Sensitive Vibrating Sample Magnetometer" Rev. Sci. Instr. 30 No. 7, 1959. (b) "Special Magnetic Measurement Techniques". J. Appl. Phys. vol. 38 No. 3 1967
9. Yasumasa Goto and Taehio Takada, "Phase Diagram of the Systems BaO. Fe<sub>2</sub>O<sub>3</sub>" J. A. Ceram. S. Mar. 1960 p. 150